

## Лекция 10

### Приложение

#### Дифференциальные уравнения на двумерном торе

**Двумерный тор.** Прямое произведение двух окружностей

$$T^2 = S^1 \times S^1 = \{x \in R^4 : x_1^2 + x_2^2 = C, x_3^2 + x_4^2 = D\}$$

называется *двумерным тором*.

Чтобы лучше представить себе тор  $T^2$ , можно поступить следующим образом. Рассмотрим в  $R^3$  поверхность баранки, полученную при вращении окружности вокруг оси, лежащей в ее плоскости и не пересекающей ее. Точка такой поверхности задается двумя угловыми координатами  $\varphi_1, \varphi_2 (\text{mod } 2\pi)$ . Координаты  $\varphi_1$  и  $\varphi_2$  задают диффеоморфизм поверхности баранки и прямого произведения  $T^2$  двух окружностей (см. Рис. 1).

Координаты  $\varphi_1$  и  $\varphi_2$  можно называть *долготой* и *широтой*. Карту тора  $T^2$  можно изобразить на квадрате  $0 \leq \varphi_1 \leq 2\pi, 0 \leq \varphi_2 \leq 2\pi$  плоскости  $(\varphi_1, \varphi_2)$ , склеив точки  $(\varphi_1, 0)$  с  $(\varphi_1, 2\pi)$  и  $(0, \varphi_2)$  с  $(2\pi, \varphi_2)$ . Можно также считать картой всю плоскость, но тогда точка тора будет иметь бесконечное число изображений на карте (см. Рис. 2).

Фазовый поток системы

$$\dot{x}_1 = -\omega_1 x_2, \quad \dot{x}_2 = \omega_1 x_1, \quad (1)$$

$$\dot{x}_3 = -\omega_2 x_4, \quad \dot{x}_4 = \omega_2 x_3 \quad (2)$$

оставляет тор  $T^2$  на месте. Фазовые кривые системы (1)-(2) лежат на поверхности  $T^2$ . Если  $\varphi_1$  – полярный угол на плоскости  $(x_1, x_2)$ , отсчитываемый от орта  $x_1$  к орту  $x_2$ , то согласно (1)  $\dot{\varphi}_1 = \omega_1$ . Аналогично, отсчитывая  $\varphi_2$  от  $x_3$  к  $x_4$ , получаем  $\dot{\varphi}_2 = \omega_2$ .

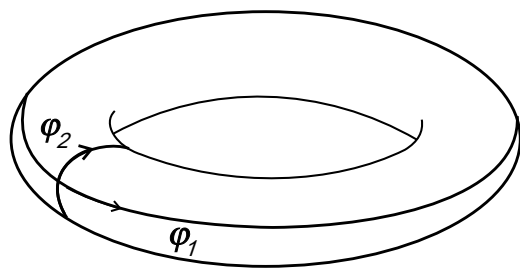


Рис. 1: Параметризация поверхности тора  $T^2$

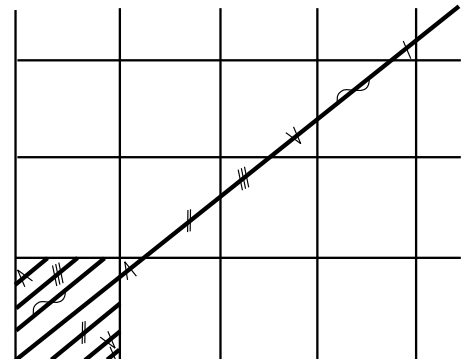


Рис. 2: Карта тора на плоскости

*Задача 1.* Покажите, что, действительно,  $\dot{\varphi}_1 = \omega_1$  и  $\dot{\varphi}_2 = \omega_2$ .

Таким образом, фазовые траектории потока (1)-(2) на поверхности тора  $T^2$  удовлетворяют дифференциальному уравнению

$$\dot{\varphi}_1 = \omega_1, \quad \dot{\varphi}_2 = \omega_2. \quad (3)$$

Широта и долгота фазовой точки меняются равномерно, и на карте тора движение изображается прямой линией, а на поверхности барабанки получается "обмотка".

### Фазовые кривые уравнения (3) на торе.

Числа  $\omega_1$  и  $\omega_2$  называются *рационально независимыми*, если из равенства  $k_1\omega_1 + k_2\omega_2 = 0$  с целыми  $k_1$  и  $k_2$  следует  $k_1 = k_2 = 0$ . Например,  $\sqrt{2}$  и  $\sqrt{8}$  рационально зависимы, а  $\sqrt{6}$  и  $\sqrt{8}$  нет.

**Теорема.** Если  $\omega_1$  и  $\omega_2$  рационально зависят, то всякая фазовая кривая (3) на торе замкнута. Если же  $\omega_1$  и  $\omega_2$  рационально независимы, то всякая фазовая кривая уравнения (3) всюду плотна на торе  $T^2$ .

**Лемма.** Рассмотрим поворот окружности  $S^1$  на угол  $\alpha$ , несоизмеримый с  $2\pi$ . Тогда образы любой точки на окружности при повторении поворота

$$\varphi, \quad \varphi + \alpha, \quad \varphi + 2\alpha, \quad \varphi + 3\alpha, \dots \pmod{2\pi}$$

образуют множество, всюду плотное на окружности.

*Принцип ящиков Дирихле.* Если в  $k$  ящиках лежит  $k+1$  предмет, то хотя бы в одном ящике больше одного предмета.

Разделим окружность на  $k$  равных полуинтервалов  $I_r = [2\pi\frac{r}{k}, 2\pi\frac{r+1}{k})$ ,  $r = 0, 1, \dots, k-1$ , каждый длиной  $2\pi/k$ . По принципу ящиков среди первых  $k+1$  точек нашей последовательности есть 2 точки в одном полуинтервале  $I_r$ . Пусть это точки  $\varphi + p\alpha$  и  $\varphi + q\alpha$ ,  $p > q$ , то есть сначала точка попадает в полуинтервал  $I_r$  за  $q$  шагов, а потом за последующие  $p-q$  шагов точка опять попадает в  $I_r$  (см. Рис. 3). Обозначим через  $s = p - q$ . Следовательно, угол поворота  $s\alpha$  отличается от кратного  $2\pi$  меньше, чем на  $2\pi/k$ , и в последовательности точек

$$\varphi, \quad \varphi + s\alpha, \quad \varphi + 2s\alpha, \quad \varphi + 3s\alpha, \quad \dots \pmod{2\pi}$$

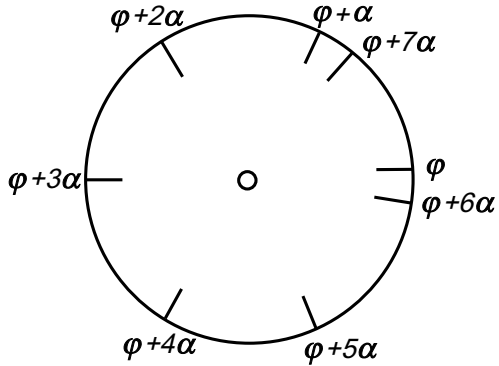


Рис. 3: Образы точки  $\varphi$  окружности при повторении поворота на угол  $\alpha$

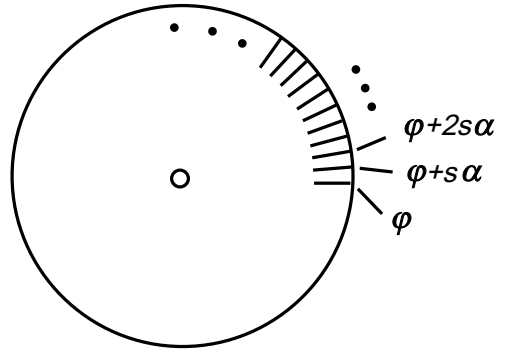


Рис. 4: Точки  $\varphi + Ns\alpha$  на окружности

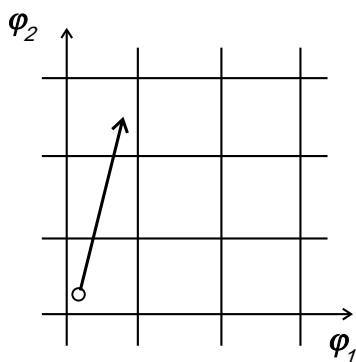


Рис. 5: Фазовая кривая системы (3) на поверхности тора (обмотка тора  $T^2$ )

каждые две соседние точки отстоят на одинаковое расстояние, меньшее чем  $2\pi/k$ . Пусть дано  $\varepsilon > 0$ . Выбрав  $k$  достаточно большим, мы можем сделать  $2\pi/k < \varepsilon$ . Тогда в любой  $\varepsilon$ -окрестности любой точки  $S^1$  есть хотя бы одна точка последовательности

$$\varphi + Ns\alpha \pmod{2\pi}$$

(см. Рис. 4). Лемма доказана.

*Замечание.* Мы не использовали несоизмеримости  $\alpha$  с  $2\pi$ . Между тем очевидно, что при  $\alpha$ , соизмеримом с  $2\pi$ , лемма неверна.

*Доказательство теоремы.* Решение уравнения (3) имеет вид

$$\varphi_1(t) = \varphi_1(0) + \omega_1 t, \quad \varphi_2(t) = \varphi_2(0) + \omega_2 t. \quad (4)$$

Пусть  $\omega_1$  и  $\omega_2$  рационально зависимы:

$$k_1\omega_1 + k_2\omega_2 = 0, \quad k_1^2 + k_2^2 \neq 0.$$

Рассмотрим условие периодичности для функций  $\varphi_1(t)$  и  $\varphi_2(t)$ :

$$\varphi_1(T) \pmod{2\pi} = \varphi_1(0), \quad \varphi_2(T) \pmod{2\pi} = \varphi_2(0),$$

или, что то же самое,

$$\omega_1 T = 2\pi m, \quad \omega_2 T = 2\pi n, \quad (5)$$

где  $m$  и  $n$  – целые. Из (4) и (5) следует, что

$$k_1 m + k_2 n = 0.$$

Не ограничивая общности, будем предполагать, что  $k_2 > 0$ . Отсюда получаем что уравнения (5) при  $m = k_2$ , а  $n = -k_1$  относительно  $T$

$$\omega_1 T = 2\pi k_2, \quad \omega_2 T = -2\pi k_1$$

совместны. Их решение

$$T = \frac{2\pi k_2}{\omega_1} = -\frac{2\pi k_1}{\omega_2}$$

является периодом замкнутой кривой (4).

Пусть  $\omega_1$  и  $\omega_2$  рационально независимы. Тогда  $\omega_1/\omega_2$  – иррациональное число. Рассмотрим последовательные точки пересечения фазовой кривой (4) с меридианом  $\varphi_1 = 0 \pmod{2\pi}$ . Широты этих точек будут

$$\varphi_{2,k} = \varphi_{2,0} + 2\pi \frac{\omega_2}{\omega_1} k \pmod{2\pi}.$$

Согласно Лемме, множество точек пересечения всюду плотно на меридиане. Заметим, что прямые, проведенные из точек множества, всюду плотного на прямой, лежащей в плоскости, по направлению, не совпадающему с направлением этой прямой, образуют всюду плотное множество на плоскости. Поэтому отображение

$$\bar{\varphi}_1(t) = \varphi_1(t) - 2\pi \left[ \frac{\varphi_1(t)}{2\pi} \right], \quad \bar{\varphi}_2(t) = \varphi_2(t) - 2\pi \left[ \frac{\varphi_2(t)}{2\pi} \right],$$

фазовой кривой (4) на квадрате

$$0 \leq \bar{\varphi}_1 < 2\pi, \quad 0 \leq \bar{\varphi}_2 < 2\pi$$

всюду плотно. Итак, фазовая кривая уравнения (3) и, значит, уравнений (1)-(2), всюду плотна на торе.

## Свойства хаотических отображений

Будем говорить, что отображение  $f : I \rightarrow I$  обладает свойствами:

(i) *чувствительная зависимость от начальных условий*,

если существует  $\delta > 0$  такое, что для всех  $x \in I$  и любого интервала  $J$ , содержащего точку  $x$  ( $x \in J$ ), существуют  $y \in J$  и  $n > 0$  такие, что  $|f^n(x) - f^n(y)| > \delta$ ,

(ii) *топологическая транзитивность*:

если для любой пары открытых множеств  $A, B \subset I$  существует  $n > 0$  такое, что  $f^n(A) \cap B \neq \emptyset$ ,

(iii) *перемешивание*,

если для любой пары открытых множеств  $A, B \subset I$  существует  $N_0 > 0$  такое, что для  $n > N_0$  выполняется  $f^n(A) \cap B \neq \emptyset$ .

Очевидно, что отображение, обладающее свойством перемешивания, является топологически транзитивным.

**Инвариантная мера**  $\rho(x)$  – плотность итераций отображения  $x_{n+1} = f(x_n)$ , где  $x_n \in [0, 1]$ ,  $n = 0, 1, 2, \dots$  на единичном интервале и определяется следующим образом:

$$\rho(x) = \lim_{N \rightarrow \infty} \frac{1}{N} \sum_{i=0}^{N-1} \delta[x - f^i(x_0)], \quad (6)$$

где  $\delta[\cdot]$  – дельта-функция Дирака. Показано, что  $\rho(x)$  стационарна, то есть не изменяется во времени под действием отображения  $f(x)$ , и является решением интегрального уравнения Фробениуса-Перрона

$$\rho(y) = \int_0^1 \delta[y - f(x)] \cdot \rho(x) dx. \quad (7)$$

**Корреляционная функция**  $C(m)$  для отображения  $x_{n+1} = f(x_n)$ , где  $x_n \in [0, 1]$ ,  $n = 0, 1, 2, \dots$  определяется следующим образом:

$$C(m) = \lim_{N \rightarrow \infty} \frac{1}{N} \sum_{i=0}^{N-1} \hat{x}_{i+m} \hat{x}_i, \quad (8)$$

где

$$\hat{x}_i = f^i(x_0) - \bar{x}, \quad \bar{x} = \lim_{N \rightarrow \infty} \frac{1}{N} \sum_{i=0}^{N-1} f^i(x_0). \quad (9)$$

Это характеристика стохастичности последовательности  $x_0, f(x_0), f^2(x_0), \dots$ , которая показывает, насколько отклонения от среднего значения

$$\hat{x}_i = x_i - \bar{x}, \quad (10)$$

вычисленные через  $m$  шагов (то есть  $\hat{x}_{i+m}$  и  $\hat{x}_i$ ), связаны в среднем друг с другом. Тогда

$$C(m) = \int_0^1 \rho(x) \cdot x \cdot f^m(x) dx - \left[ \int_0^1 \rho(x) \cdot x dx \right]^2. \quad (11)$$

Для непрерывных отображений автокорреляционная функция определяется следующим образом:

$$C(\tau) = \lim_{t \rightarrow \infty} \frac{1}{T} \int_0^T \hat{C}(t) \cdot \hat{C}(t+\tau) dt, \quad \hat{C}(t) = C(t) - \lim_{t \rightarrow \infty} \frac{1}{T} \int_0^T C(\tau) d\tau, \quad (12)$$

и является мерой корреляции между последовательными значениями сигнала. Для регулярных движений она постоянна или осциллирует, а в хаотическом режиме быстро спадает (чаще всего экспоненциально).